

神奈川県企業庁 正。網野信重
日大生産工学部 金村昌邦

1. 緒言

急速ろ過における損失水頭は、最適ろ過速度の選択計画上、経済時間の予測やろ過層の状態を知るうえで、さわめて重要である。ろ過地表面の示標によっている。しかしながらろ過初期までの損失水頭は後述ろ過時代からの経験から考慮される経験的定式のから決定され、理論的であるとは言い難い。

実際のろ過地運転に付けても必要に応じてろ過速度を変更することもあり、全損失水頭とろ材粒の寸法による損失水頭の関係はろ過地表面サイクルの考え方についても基本的に検討する必要があると考える。

近年の急速、高速ろ過時代の初期損失水頭は一般に全損失水頭に対して10ないしは20%以上となる。これを無視してろ過地を運転してゆくことは絶対に不可能なことと言わざるを得ない。これに付ます、初期における損失水頭をあらやるケースを求める、ろ材の寸法の損失と、繊維の拘束に伴う損失を整理したうえで、実際の損失水頭を理論的に解明し、これを基礎としてろ過運動の示標づくりをしなければならないと考える。本報においては、このような背景のもとに既存の理論式に考察を加え、以下に述べる基本式を紹介するものである。

2. 損失水頭式に対する考察

損失を捕捉していいやすい条件の損失水頭を表わす式には、Fair-HatchやLevaの式があるが、ろ過の過程を元細管の運動と見ていうため、損失水頭は導管に類似性はあるが実際的には理解しにくいためがある。Fair-Hatch式ではReynold's numberが、ろ材中の流体運動を知るうえで重要な1.0前後で使い分けるなど、式の取扱いや測定誤差が生じやすい空隙率: ϵ が年々えていく点などが問題と考える。従ってFair-HatchやLeva式は、いずれも実験上、手近な式といふべきである。それは空隙率を測定法であり、

最も不可解なのは形態係数: α や、ろ材の代表径: D についてである。このような複数に立ち、ろ過理論やろ過の一般式について取扱選択し、どの点についても実験にしやすく必要があると考える。

3. 損失水頭の実測値

Fig.1は急速ろ過の時間経過に伴う、ろ過速度の変化に対するろ過損失を示したもので、図中、曲線a, b, c, ~, sのうち、曲線aはろ過を開始した時点の初期損失であり、その後時間経過に伴って、曲線b, c, ~, sと損失水頭が上昇してゆく状態を示している。

曲線aのろ過速度別、初期損失水頭曲線によると、急速ろ過では一般にろ過速度を150m/hとした場合、その時のろ過損失水頭が28cm(全損失水頭20cmを余裕として14%)、高速ろ過ではろ過速度を200m/hとした場合に45cm(全損失水頭20cmを余裕として23%)となり、ろ過速度の上昇に伴い、ろ材そのものの損失水頭の割合が増大する。従って、ろ過速度が高遅化すれば全損失水頭中の繊維拘束による損失の割合が減少していく。

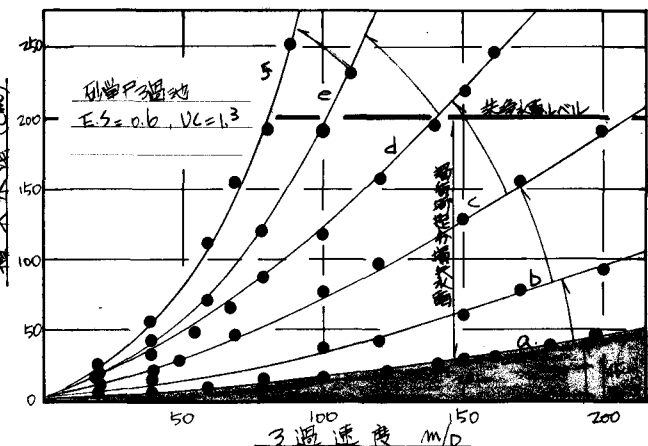


Fig.1 ろ過速度変化に伴う損失水頭実験

で漏水量や、洗浄時の損失水頭に対する影響を展開すべきで、進歩の認識を技術的に整理する必要がある。

Fig.2は、同容量のAnthracite 3枚(E.S.=1.4, U.C.=1.4
層厚L=0.6m)を圧縮した3層と膨張させた3層とに分けて3回を行い、経時的に両者の損失水頭を比較したものである。二回とり3回の圧縮後50hrs前後を境にして両曲線が交差していく。従って損失水頭に与える3枚の違いは、0~50hrs前後まで3回の層厚が、50hrs以後から3層表面の損失水頭が膨張層の損失水頭を上回るため、この間に3層表面の3枚が大きく差をしていくと考える。二の一例からも一般に、初期では層厚が、そして一定時間経過後には表面3枚が損失水頭を支配するものと考える。

4. 損失水頭式の試算

3枚中の相間を通じて系から3枚の経路で多くの障害物によりさかめて複雑なものの考え方から、これを R_h とする動水半径(Hydraulic radius)を持った1本の系管と仮定し、拡散速度式を基本としたStokesの法則を3枚の形状係数: $\alpha(\varepsilon)$ を修正した式は理論的構成された一般式と考える立場が、より自然とする根拠が多いと思われる。従って、急速3回にかけた損失水頭: ΔP は、

$$\Delta P = 18(1-\varepsilon) \cdot \frac{1}{\varepsilon^2 \cdot \alpha(\varepsilon)} \cdot \mu L V$$

3枚控除率: $\varepsilon = 0.47$, 3枚粒3代表径: $L = 0.6 \times 10^3$ (m), 3枚の形状係数: $\alpha(\varepsilon) = 8.62$

水の粘性係数: $\mu = 0.9113 \times 10^{-4}$ (kg/m·sec), 3層厚さ: $L = 0.6$ (m), 3回速度: $V = 1.73 \times 10^{-3}$ (m/sec)

以上計算結果から、損失水頭: $\Delta P = 0.29$ mを得るが、実験と比較して若干大きめの値となった。これら代入値のうち、控除率: ε の測定値についてはTable 1の値を用いた。3枚粒子の代表径についても同様に測定値を用いた。又、3枚の形状係数: $\alpha(\varepsilon)$ については、各分野において必ずしも統一されたものではないが、比表面積形状係数 $\alpha_m(\varepsilon) = \alpha_s(\varepsilon)/\alpha_w(\varepsilon)$ を用いた。ここで言う $\alpha_m(\varepsilon)$ は面積形状係数 2.93, $\alpha_w(\varepsilon)$ は体積形状係数 0.34を用いた。

5. 結論

Fair-HatchやReva式と本式の3式について実験と比較し、いずれも若干大きな値を示すが、本式については、形状係数 $\alpha(\varepsilon)$ や3枚の代表径: L を集中的に検討すれば実験に即したものに修正してやせたいと考える。

本研究の結果、経時的に損失水頭に対する考慮した因子を推定され、全損失水頭についても、3枚ベースの損失水頭と漏損補配分による損失水頭とが整理された。従って、将来的には漏損補配分の損失水頭の割合をうえ、3回洗入原水の漏度、温度など諸条件をモニターリング、3回洗入水漏れを予測することも可能と考える。3回洗入水漏れを対象的に実施するこことは漏水漏全体の運営を計画的ほどのとし、今後は経済的方針採用を、それら可ものと考える。

<参考文献>

- 1) 金井・網野・小畠田、複層3回の実験的研究、土木学会第34回 年次学術講演会講演集要集 p.329.
- 2) 石澤・網野・小畠田、アスファルト複層3回の洗入水漏れ実験、第30回全国水道研究所発表会講演集 p.384.
- 3) Fair/Gaynor/Okuu, Water and Wastewater engineering volume 2 P.37-1 ~ P.37-29
- 4) John R. Baylis, Oscar Gullans and H.E. Hudson, Jr. Water Quality & Treatment p.243.

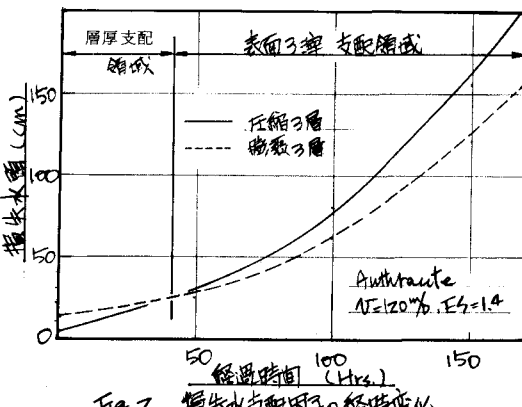


Fig.2 損失水分配因子の経時変化

Table 1 実験率測定値

Material	0.6	1.0	1.4	1.8
Sand	0.47	0.46	0.46	0.45
Anthracite	0.54	0.52	0.50	0.49
Crushed S.	0.53	0.51	0.50	0.50